



بررسی شیمی کانی‌ها و دما - فشارسنجدی آمفیبولیت‌های مجموعه‌ی دگرگونی قطور (استان آذربایجان غربی - شمال غرب ایران)

محمد سعادت، رباب حاجی‌علی‌اوجلی^{*}، محسن موذن

گروه علوم زمین، دانشکده علوم طبیعی، دانشگاه تبریز، تبریز، ایران

(دریافت مقاله: ۹۷/۵/۱۴، نسخه نهایی: ۹۷/۹/۲۰)

چکیده: مجموعه دگرگونی قطور در مرز آذربایجان غربی با ترکیه قرار دارد و شامل واحدهای دگرگونی متابازیت، گنیس، فیلیت، مرمر، آهک-سیلیکات و سرپانتینیت است. سنگ‌های آمفیبولیت در این مجموعه دگرگونی به دو دسته ارتو- و پارا-آمفیبولیت تقسیم می‌شوند. کانی‌های اصلی تشکیل‌دهنده ارتوآمفیبولیت‌ها شامل هورنبلند و پلازیوکلاز بوده و زیرکن، تیتانیت و کانی‌های تیره کانی‌های فرعی آنها هستند. نمونه‌های پارا-آمفیبولیتی افزون بر آمفیبول و پلازیوکلاز، دارای مقادیری از کانی‌های کلسیت و کوارتز نیز هستند. کانی‌های ترمولیت/اکتینولیت، کلریت و سریسیت در ارتباط با رخداد دگرگونی برگشتی در شرایط رخساره‌ی شیست سبز در این سنگ‌ها تشکیل شده‌اند. بررسی شیمی کانی و تعیین شرایط دما و فشار دگرگونی ارتوآمفیبولیت‌ها هدف این پژوهش است. بر اساس نتایج تجزیه ارتوآمفیبولیت‌ها به روش ریزکاو الکترونی، ترکیب آمفیبول از نوع مگنزیو-هاستینگزیت است و خاستگاه دگرگونی دارد و ترکیب فلدوپات از نوع الیگوکلاز است. بر اساس دما- فشارسنجدی این سنگ‌ها به روش‌های مختلف، دما و فشار دگرگونی اوج حدود ۶۵۰-۵۵۰ درجه‌ی سانتی‌گراد و ۸ تا ۸ کیلوبار است. شب زمین‌گرمایی محاسبه شده بر اساس دما و فشار به دست آمده حدود ۲۵ °C/km تعیین شد که با شرایط برخورد قاره‌ای همخوانی دارد. بنظر می‌رسد که بسته شدن اقیانوس نئوتیس در کرتاسه و برخورد قاره‌ای پس از آن در الیگو-پایانی-میوسن عامل تشکیل آمفیبولیت‌های مورد بررسی در مجموعه دگرگونی قطور بوده است.

واژه‌های کلیدی: آمفیبولیت؛ شیمی کانی؛ دما- فشارسنجدی؛ قطور؛ شمال غرب ایران.

منطقه‌ی مورد بررسی به مرز و همچنین وجود افیولیت‌های خوی در شمال غرب ایران و معطوف بودن بیشتر پژوهش‌ها به این مجموعه افیولیتی، به سنگ‌های دگرگونی منطقه‌ی قطور توجه چندانی نشده است. بر این اساس، در این پژوهش، به بررسی جامع سنگنگاری، شیمی کانی‌ها و دما- فشارسنجدی سنگ‌های آمفیبولیتی این مجموعه دگرگونی پرداخته شده است.

جایگاه زمین‌شناسی

منطقه‌ی مورد بررسی در ۶۰ کیلومتری غرب شهرستان خوی و بین طول‌های جغرافیایی $38^{\circ} ۴۴^{\circ}$ و $۳۸^{\circ} ۱۵^{\circ}$ و عرض‌های جغرافیایی $۳۸^{\circ} ۲۳^{\circ}$ و $۳۰^{\circ} ۳۸^{\circ}$ واقع است. این منطقه در

مقدمه

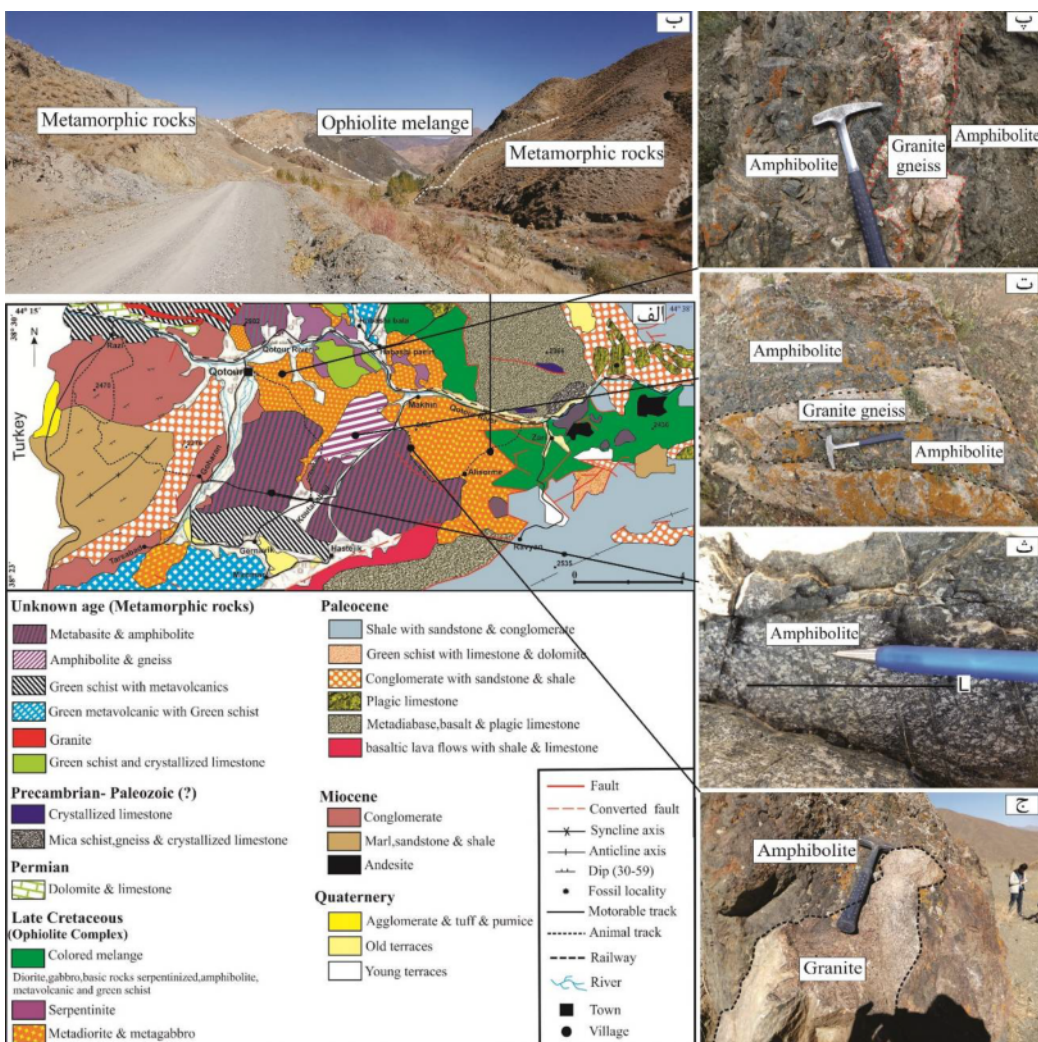
مهم‌ترین اهداف سنگ‌شناسان از پژوهش پیرامون سرزمهین‌های دگرگونی، بررسی بافت و ریزساختار سنگ‌ها برای تعیین انواع دگرگشکلی در آن‌ها، تعیین شرایط دما و فشار برای بدست آوردن شب زمین‌گرمایی و تعیین جایگاه زمین‌ساختی ماگمایی سنگ‌ها و همچنین بررسی شیمی سنگ کل سنگ مادر آن‌ها برای دستیابی به زمین دینامیک محیط تشکیل سنگ‌هاست. در بررسی این فرایندها، سنگ‌های بازی و فرابازی از اهمیت ویژه‌ای برخوردار هستند. سنگ‌های متابازیتی بخش عمده‌ای از مجموعه دگرگونی قطور در مرز استان آذربایجان- غربی با کشور ترکیه را شامل می‌شوند. با توجه به نزدیکی

نقشه‌ی ۱:۲۵۰۰۰ خوی [۷] و ۱:۱۰۰۰۰ قطور [۶] به پرکامبرین-پالئوزویک نسبت داده شده است اما هنوز سن ایزوتوپی این سنگ‌ها گزارش نشده است.

زمین‌شناسی صحرایی

سنگ‌های دگرگونی مورد بررسی در مرز بین روستای زری تا روستای قطور رخنمون دارند (شکل ۱ الف). به دلیل شرایط مرزی، تاکنون بررسی سنگ‌شناسی بر سنگ‌های این منطقه و نیز مجموعه دگرگونی قطور، حتی در مورد ویژگی‌های صحرایی و سنگ‌نگاری آن‌ها، انجام نشده است. سنگ‌های متاباریت، سرپانتینیت و گنیس رخنمون اصلی سنگ‌های دگرگونی منطقه را تشکیل می‌دهند.

تقسیم‌بندی‌های مختلف ساختاری ایران جزو کمربند دگرگونی و افیولیتی پهنه سندج-سیرجان [۱]، گودال آتشفسانی مولاسی ایران مرکزی [۲]، پهنه ماگمایی ارومیه-دختر و مجموعه‌ی ماگمایی البرز-آذربایجان [۳] است. گاهی نیز این منطقه را بخشی از زیر پهنه خوی-مهاباد [۴] و بخشی از آمیزه‌های رنگین و افیولیتی [۵] دانسته‌اند. مجموعه‌ی دگرگونی قطور شامل واحد متابازیتی (آمفیبولیت، شیست‌سوز، متادیوریت، متاگابرو و سنگ‌های آتشفسانی دگرگونه)، واحد کوارتز-فلدسباتی (گنیس‌ها)، سنگ‌های دگرگونی رسی مانند فیلیت، سنگ‌های دگرگونی آهکی و واحد متابریدوتیتی و سرپانتینیت است [۶]. سن مجموعه‌ی دگرگونی قطور در



شکل ۱ الف- نقشه زمین‌شناسی منطقه مورد بررسی (برگرفته از نقشه‌های ۱:۱۰۰۰۰ خوی و قطور با تغییرات از). ب- مرز بین آمیزه افیولیتی با سن کرتاسه‌ی پسین و سنگ‌های دگرگونی با سن نامشخص مورد بررسی در مسیر روستای علی‌سرمه به زری، (دید به سمت شمال‌شرق)، پ و ت- رخنمون آمفیبولیت با رگه‌های گرانیت‌گنیس در شرق روستای قطور (دید به سمت شمال‌شرق) و شمال‌شرق کوتان‌آباد (دید به سمت شرق). ث- جهت یافتنگی در آمفیبولیت‌ها و ج- قطعات گرانیتی موجود در آمفیبولیت‌ها در مسیر کوتان‌آباد به علی‌سرمه.

ارتوآمفیبولیت انجام شده و زمان تجزیه‌ی هر نقطه ۴۰ ثانیه انتخاب شد. نسبت یونی عناصر $\text{Fe}^{2+}/\text{Fe}^{3+}$ در ساختار کانی‌ها، با استفاده از رابطه مرجع [۸، ۹] محاسبه شده است.

بحث و بررسی

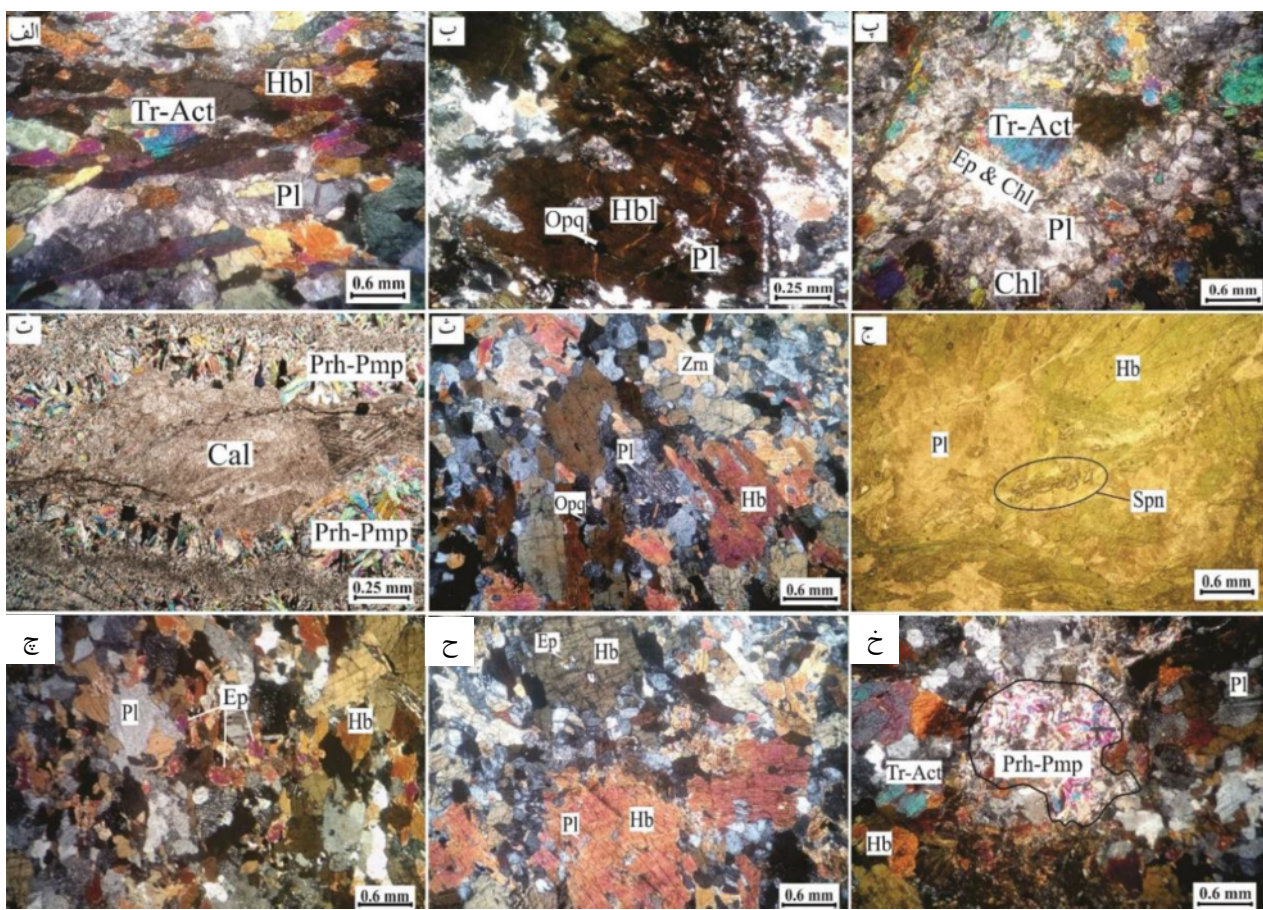
سنگنگاری آمفیبولیت‌ها: آمفیبولیت‌های منطقه‌ی مورد بررسی بر اساس خاستگاه به دو گروه پارآمفیبولیت و ارتواآمفیبولیت تقسیم می‌شوند که با ویژگی‌های زیر مشخص می‌شوند.

پارآمفیبولیت: کانی‌های اصلی این سنگ‌ها، هورنبلند و پلازیوکلاز هستند (شکل ۲ الف و ب). فراوانی هورنبلند در نمونه‌های مختلف متفاوت است که در برخی نمونه‌ها تا ۶۰ درصد می‌رسد. آمفیبول‌ها درشت‌دانه و شکل‌دار تا نیمه شکل‌دار و با رخ دوجهتی در نمونه‌ها دیده می‌شوند. رنگ هورنبلندها از سبز تا قهوه‌ای متغیر است. پلازیوکلازها ماکل تکراری نشان می‌دهند و اندازه آن‌ها نسبت به آمفیبول‌ها ریزتر است و در برخی مقاطع، در حال تجزیه به سریسیت هستند. مقدار پلازیوکلاز نیز در مقاطع متفاوت و از ۱۰ تا ۶۰ درصد متغیر است. همچنین کانی‌های ترمولیت-اکتینولیت، اپیدوت، کلسیت و کوارتز از دیگر کانی‌های دگرگونی موجود در این سنگ‌ها هستند (شکل‌های ۲ الف تا ت). تقریباً در همه نمونه‌ها، کانی ترمولیت-اکتینولیت وجود دارد که ناشی از دگرگونی برگشتی هورنبلند است. از کانی‌های فرعی موجود در سنگ می‌توان به زیرکن، تیتانیت و کانی‌های کدر اشاره کرد. کلسیت در این سنگ‌ها فراوان است که این از ویژگی‌های مهم پارآمفیبولیت-هاست و در مواردی، رگه‌هایی از پرهنیت-پومپلئیت با ویژگی‌های نوری شامل برجستگی پایین، بی‌رنگ و دارای رنگ‌های تداخلی سبز روشن تا تیره، زرد، آبی، خاکستری و صورتی در سنگ حضور دارد (شکل ۲ ت). بافت غالب نمونه‌ها گرانوبلاستیک است، اما در برخی از مقاطع، با جهت‌یافته‌ی بلورهای هورنبلند و ترمولیت-اکتینولیت، بافت نماتوبلاستیک نیز دیده می‌شود (شکل ۲ الف). در بسیاری از نمونه‌ها، میانبار-های زیادی از پلازیوکلاز در کانی هورنبلند وجود دارد و در برخی دیگر، آمفیبول‌ها به صورت میانبار در پلازیوکلاز قرار دارند (شکل ۲ ب). در بعضی از مقاطع، بلورهای هورنبلند از اطراف به مجموعه کانی‌های ثانویه اپیدوت، کلریت و ترمولیت-اکتینولیت تبدیل شده‌اند که بیانگر دگرگونی برگشتی در شرایط رخساره‌ی شیست سبز است (شکل ۲ پ).

در نقشه زمین‌شناسی قطور، سنگ‌های مجموعه دگرگونی مورد بررسی به دو دسته‌ی سنگ‌های دگرگونی افیولیتی منسوب به کرتاسه‌ی پسین و سنگ‌های دگرگونی غیرافیولیتی با سن نامشخص (شايد پرکامبرین-پالئوزوئیک) تقسیم شده‌اند [۶]. سنگ‌های گروه نخست شامل انواع متابازیت (آمفیبولیت، شیست سبز و غیره) با لایه‌هایی از آهک پلازیک و متاپریدوتیت و سرپانتینیت است. سنگ‌های گروه دوم شامل متابازیت (آمفیبولیت، شیست سبز، متاگابرو، متادیوریت و سنگ‌های آتشفسانی دگرگونه) با قطعاتی از سنگ‌های کوارتز-فلدسباتی صورتی رنگ، گنیس، فیلیت، مرمر و شیست آهکی است. بر اساس بررسی‌های صحراوی، مرز زمین‌ساختی مشخص بین سنگ‌های دگرگونی منسوب به پرکامبرین-پالئوزوئیک و آمیزه افیولیتی را می‌توان بین روستای علی‌سرمه به سمت روستای زری دید (شکل ۱ ب). آمفیبولیت‌های مورد بررسی بر اساس نقشه زمین‌شناسی قطور وابسته به سنگ‌های دگرگونی غیر افیولیتی با سن نامشخص هستند و رخمنون آنها در شمال روستای کوتان‌آباد و شرق روستای قطور، همراه با رگه‌ها و میان‌لایه‌های متعدد گرانیت‌گنیس با روند شمال‌شرق-جنوب‌غرب دیده می‌شود (شکل‌های ۱ الف-ت). ساختار آمفیبولیت‌ها متنوع بوده و شامل انواع همگن، ناهمگن و با بافت دانه‌های ریز تا دانه درشت است. رنگ آمفیبولیت‌ها در نمونه‌های دستی از خاکستری و سبز روشن تا تیره متفاوت است. کانی‌های اصلی آمفیبولیت‌ها شامل، هورنبلند و پلازیوکلاز هستند. در مسیر کوتان‌آباد به سمت گیوران، برونزدی از آمفیبولیت‌ها وجود دارد که کانی‌های هورنبلند موجود در آن‌ها دارای جهت‌یافته‌ی با راستای شمال‌غرب-جنوب‌شرق هستند (شکل ۱ ث). همچنین در مسیر کوتان‌آباد به سمت علی‌سرمه، برونزدهایی از آمفیبولیت وجود دارد که دارای قطعات بزرگی از گرانیت‌های صورتی رنگ با ارتوز فراوان هستند (شکل ۱ ج).

روش بررسی

پس از بازدیدهای صحراوی و بررسی‌های سنگنگاری، تجزیه-های شیمیایی کانی‌های تشکیل دهنده آمفیبولیت‌ها توسط دستگاه ریزپردازشگر مدل CamecaX100 با ولتاژ ۱۵ کیلوولت و جریان ۲۰ نانو آمپر با باریکه ۱۰-۲ میکرومتر در مرکز تحقیقات زمین‌شناسی پتسدام آلمان صورت گرفت. تجزیه‌ی ریزپردازشی کانی تعداد ۱۴ نقطه آمفیبول، ۱۸ نقطه اپیدوت، ۳ نقطه فلدسبات و ۳ نقطه تیتانیت از سنگ‌های



شکل ۲ تصاویر میکروسکوپی پارا-آمفیبولیت و ارتو-آمفیبولیت: الف- پلازیوکلاز و آمفیبول با بافت نماتوبلاستیک در پارا آمفیبولیت، ب- میانبارهای پلازیوکلاز در درون هورنبلند در پارا آمفیبولیت، پ- تبدیل هورنبلند به اپیدوت، کلریت و ترمولیت- اکتینولیت طی دگرگونی پسروندۀ در شرایط رخساره‌ی شیست سبز، ت- فراوانی کلسیت به همراه رگه‌های پرهنیت- پمپلئیت در پارا آمفیبولیت‌ها، ث- فراوانی هورنبلند با بلورهای شکل‌دار تا نیمه‌شکل‌دار و کانی پلازیوکلاز با ماکل تکراری در ارتوآمفیبولیت، ج- اسفن در ارتوآمفیبولیت، چ- کانی اپیدوت حاصل از دگرگونی پسروندۀ در ارتو آمفیبولیت، ح: میانبارهای کانی اپیدوت و پلازیوکلاز درون هورنبلند در ارتو آمفیبولیت و خ- جانشینی پرهنیت- پمپلئیت به جای پلازیوکلاز در ارتو آمفیبولیت. Pl: پلازیوکلاز، Hb: پلازیوکلاز، Tr: هورنبلند، Act: اکتینولیت، Opq: اپیدوت، Zrn: زیرکن، Cal: کلریت، Chl: کلسیت، Prh-Pmp: پرهنیت- پمپلئیت، Ep: اپیدوت، Spn: اسفن [۸]، (تصویر ج در نور قطبیده صفحه‌ای PPL و سایر تصاویر در نور قطبیده متقاطع، XPL، ثبت شده‌اند).

در این سنگ‌ها هستند. هورنبلندها به رنگ قهوه‌ای و به صورت شکل‌دار تا نیمه شکل‌دار هستند (شکل ۲ ث). اپیدوت ناشی از دگرگونی برگشتی در برخی مقاطع مشخص است (شکل ۲ ج). بافت غالب در نمونه‌ها گرانوبلاستیک است و در موارد کمی، با جهت‌یافته‌ی کانی آمفیبول، بافت نماتوبلاستیک شکل گرفته است (شکل‌های ۲ ث و چ). در برخی موارد، کانی‌های اپیدوت و پلازیوکلاز به صورت میانبار در هورنبلند وجود دارند (شکل ۲ ح). همچنین، شبه ریخت‌هایی از پلازیوکلاز در سنگ وجود دارد که با کانی پرهنیت جایگزین شده‌اند (شکل ۲ خ).

ارتوآمفیبولیت: کانی‌های اصلی سنگ‌ساز در این گروه شامل هورنبلند و پلازیوکلاز هستند که مقادیر آنها در سنگ‌های مختلف متفاوت است و در برخی نمونه‌ها فراوانی هورنبلند به ۹۰ درصد می‌رسد (شکل ۲ ث). این سنگ‌ها با نبود کلسیت و همچنین نسبت بالای فلدسپات به کوارتز از پارا-آمفیبولیت‌ها متمایز می‌شوند. کانی‌های زیرکن، اسفن و کانی‌های کدر به صورت فرعی در سنگ حضور دارند که فراوانی اسفن در برخی مقاطع بالاست (شکل ۲ ج). همچنین کانی‌های ترمولیت/اکتینولیت، کلریت، اپیدوت و سریسیت کانی‌های حاصل از دگرگونی برگشتی در شرایط رخساره‌ی شیست سبز

۲۳ اکسیژن و ۱۳ کاتیون در جدول ۱ آورده شده است. مقدار کلسیم در آمفیبول‌ها حدود ۱/۸۴ تا ۱/۸۸ اتم در واحد فرمولی (a.p.f.u) و مقدار سدیم ۰/۵۲ تا ۰/۶۳ a.p.f.u، در جایگاه هشت وجهی (M^4) است. به منظور تمایز آمفیبول‌های آذرین از آمفیبول‌های دگرگونی از نمودار Si-Ti [۱۰] استفاده شد (شکل ۳ الف). این نمودار مشخص می‌کند که آمفیبول‌های مورد بررسی از نوع دگرگونی هستند.

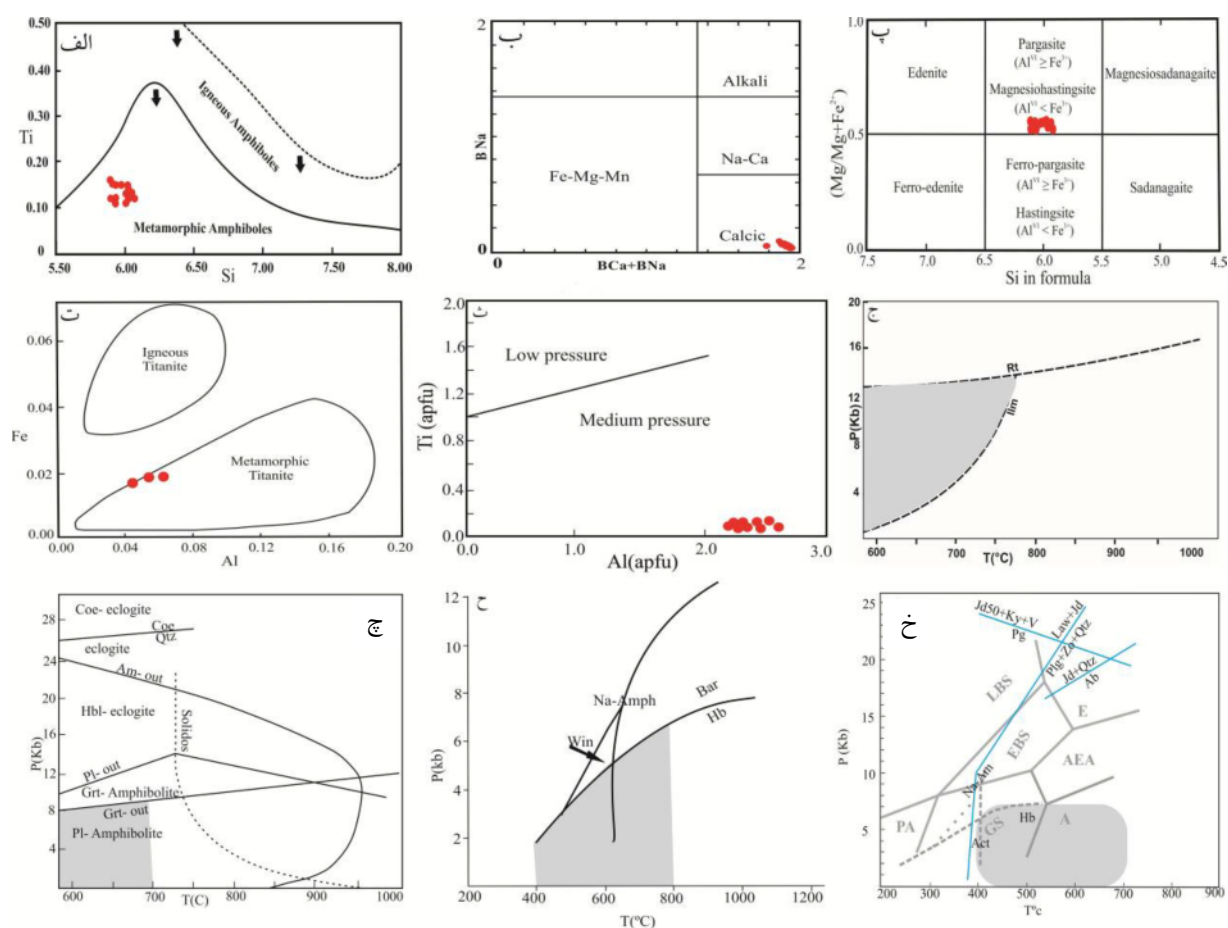
شیمی کانی‌ها

کانی‌های دگرگونی موجود در نمونه‌های ارتوآمفیبولیت که توسط ریزپردازشگر تجزیه شده‌اند شامل آمفیبول، فلدسپات، تیتانیت و اپیدوت هستند. داده‌های به دست آمده از این تجزیه‌ها در جدول‌های ۱ تا ۳ ارائه است که نتایج در ادامه توضیح داده می‌شود.

آمفیبول: نتایج برآمده از تجزیه نقطه‌ای آمفیبول موجود در ارتوآمفیبول‌ها به همراه محاسبه‌ی فرمول ساختاری بر اساس

جدول ۱ نتایج تجزیه شیمیایی و محاسبه‌ی فرمول ساختاری آمفیبول‌ها بر اساس ۲۳ اکسیژن. (داده‌های اکسیدی بر حسب درصد وزنی و فرمول ساختاری بر حسب (a.p.f.u)

نمونه	قططه ۱۳D													
	#۱۳۶	#۱۳۷	#۱۴۲	#۱۴۴	#۱۴۵	#۱۴۷	#۱۴۸	#۱۵۶	#۱۵۷	#۱۵۸	#۱۵۹	#۱۶۲	#۱۶۳	#۱۷۰
SiO ₂	۴۰,۰۶	۴۰,۱۰	۴۰,۴۶	۴۰,۵۸	۴۰,۸۷	۳۹,۸۸	۴۰,۵۱	۴۰,۹۷	۴۰,۵۸	۳۹,۴۱	۳۹,۹۰	۳۹,۵۳	۳۹,۸۵	۴۱,۱۲
TiO ₂	۱,۳۹	۱,۳۸	۱,۱۸	۱,۱۲	۱,۳۹	۱,۴۰	۱,۱۳	۱,۲۰	۱,۰۲	۱,۴۷	۱,۱۱	۱,۰۹	۱,۰۱	۱,۲۶
Al ₂ O ₃	۱۴,۴۶	۱۳,۹۹	۱۳,۷۲	۱۴,۱۵	۱۳,۸۴	۱۴,۳۶	۱۳,۷۷	۱۳,۷۱	۱۴,۰۴	۱۴,۵۶	۱۵,۰۷	۱۴,۳۳	۱۴,۴۶	۱۳,۸۶
Cr ₂ O ₃	۰,۰۳	۰,۰۷	۰,۰۷	۰,۰۶	۰,۰۷	۰,۰۸	۰,۰۹	۰,۱۰	۰,۱۰	۰,۰۳	۰,۰۷	۰,۰۸	۰,۰۹	۰,۰۸
FeO*	۱۹,۰۴	۱۸,۷۰	۱۸,۷۲	۱۸,۱۵	۱۸,۳۳	۱۸,۰۵	۱۸,۲۶	۱۸,۴۵	۱۸,۲۵	۱۸,۸۷	۱۸,۳۶	۱۸,۷۰	۱۸,۷۸	۱۸,۸۲
MnO	۰,۲۸	۰,۲۴	۰,۲۸	۰,۲۴	۰,۲۳	۰,۲۵	۰,۲۱	۰,۲۲	۰,۲۵	۰,۲۹	۰,۲۸	۰,۲۱	۰,۲۶	۰,۲۴
MgO	۹,۷۴	۹,۷۵	۹,۷۹	۱۰,۰۴	۱۰,۲۴	۹,۷۵	۹,۹۲	۱۰,۱۷	۱۰,۰۵	۹,۳۵	۹,۷۹	۹,۶۷	۹,۷۴	۹,۹۱
CaO	۱۱,۶۹	۱۱,۷۲	۱۱,۶۸	۱۱,۶۳	۱۱,۸۱	۱۱,۵۹	۱۱,۷۳	۱۱,۷۲	۱۱,۸۷	۱۱,۵۶	۱۱,۸۵	۱۱,۵۹	۱۱,۷۲	۱۱,۶۶
Na ₂ O	۱,۹۷	۱,۹۴	۲,۰۲	۱,۸۱	۱,۸۸	۲,۱۸	۱,۹۳	۲,۰۴	۱,۸۸	۱,۹۲	۱,۹۷	۱,۹۵	۲,۰۵	۱,۹۶
K ₂ O	۱,۴۱	۱,۱۵	۱,۱۷	۱,۲۸	۱,۳۳	۱,۴۳	۱,۱۴	۱,۱۹	۱,۱۶	۱,۴۲	۱,۲۶	۱,۳۷	۱,۳۳	۱,۲۷
مجموع	۹۹,۹۲	۹۹,۰۴	۹۹,۰۹	۹۹,۰۶	۹۹,۹۹	۹۹,۴۷	۹۸,۶۹	۹۹,۷۷	۹۹,۲۰	۹۸,۸۸	۹۹,۶۶	۹۸,۵۲	۹۹,۲۹	۹۹,۹۳
Si	۵,۹۲	۵,۹۷	۶,۰۳	۶,۰۲	۶,۰۲	۵,۹۴	۶,۰۴	۶,۰۵	۶,۰۱	۵,۹۰	۵,۹۰	۵,۹۳	۵,۹۳	۶,۰۶
Ti	۰,۱۵	۰,۱۵	۰,۱۳	۰,۱۲	۰,۱۵	۰,۱۵	۰,۱۲	۰,۱۳	۰,۱۱	۰,۱۶	۰,۱۲	۰,۱۲	۰,۱۱	۰,۱۴
Al	۲,۵۲	۲,۴۵	۲,۴۱	۲,۴۷	۲,۴۰	۲,۵۲	۲,۴۲	۲,۳۸	۲,۴۵	۲,۵۷	۲,۶۲	۲,۵۳	۲,۵۳	۲,۴۱
Cr	۰,۰۰	۰,۰۰	۰,۰۰	۰,۰۰	۰,۰۰	۰,۰۱	۰,۰۱	۰,۰۱	۰,۰۰	۰,۰۰	۰,۰۰	۰,۰۰	۰,۰۰	۰,۰۰
AlIV	۲,۲۶	۲,۲۴	۱,۹۲	۱,۹۸	۲,۱۹	۲,۲۹	۲,۱۹	۲,۱۶	۲,۲۲	۲,۳۳	۲,۳۶	۲,۳۰	۲,۳۰	۲,۱۸
AlVI	۰,۲۲	۰,۲۱	۰,۲۲	۰,۲۵	۰,۲۱	۰,۲۳	۰,۲۳	۰,۲۲	۰,۲۳	۰,۲۴	۰,۲۶	۰,۲۳	۰,۲۳	۰,۲۳
Fe ²⁺	۱,۸۷	۱,۸۴	۱,۸۹	۱,۸۱	۱,۸۲	۱,۹۵	۱,۸۴	۱,۸۷	۱,۷۵	۱,۹۲	۱,۷۵	۱,۸۳	۱,۸۲	۱,۹۵
Fe ³⁺	۰,۴۷	۰,۴۸	۰,۴۴	۰,۴۴	۰,۴۳	۰,۳۵	۰,۴۴	۰,۴۰	۰,۵۱	۰,۴۴	۰,۵۱	۰,۵۱	۰,۵۱	۰,۳۶
Mn	۰,۰۳	۰,۰۳	۰,۰۳	۰,۰۲	۰,۰۳	۰,۰۲	۰,۰۲	۰,۰۲	۰,۰۳	۰,۰۳	۰,۰۲	۰,۰۳	۰,۰۲	۰,۰۳
Mg	۲,۱۴	۲,۱۶	۲,۱۷	۲,۲۲	۲,۲۵	۲,۱۶	۲,۲۰	۲,۲۴	۲,۲۲	۲,۰۹	۲,۱۵	۲,۱۶	۲,۱۶	۲,۱۸
Ca	۱,۸۵	۱,۸۷	۱,۸۶	۱,۸۵	۱,۸۶	۱,۸۵	۱,۸۷	۱,۸۵	۱,۸۸	۱,۸۵	۱,۸۷	۱,۸۷	۱,۸۷	۱,۸۴
Na	۰,۵۶	۰,۵۶	۰,۵۳	۰,۵۲	۰,۵۳	۰,۶۳	۰,۵۵	۰,۵۸	۰,۵۳	۰,۵۵	۰,۵۶	۰,۵۶	۰,۵۹	۰,۵۴
K	۰,۲۶	۰,۲۱	۰,۲۲	۰,۲۴	۰,۲۵	۰,۲۷	۰,۲۱	۰,۲۲	۰,۲۱	۰,۲۷	۰,۲۳	۰,۲۶	۰,۲۵	۰,۲۳
مجموع	۱۵,۸۳	۱۵,۷۷	۱۵,۸۰	۱۵,۷۶	۱۵,۷۸	۱۵,۹۰	۱۵,۷۷	۱۵,۸۰	۱۵,۷۶	۱۵,۸۳	۱۵,۸۰	۱۵,۸۳	۱۵,۸۴	۱۵,۸۰
Mg#	۰,۵۳	۰,۵۴	۰,۵۳	۰,۵۵	۰,۵۵	۰,۵۲	۰,۵۴	۰,۵۴	۰,۵۵	۰,۵۲	۰,۵۵	۰,۵۴	۰,۵۴	۰,۵۲
Na _B	۰,۱۰	۰,۰۷	۰,۱۱	۰,۱۲	۰,۱۱	۰,۰۸	۰,۰۷	۰,۰۸	۰,۰۶	۰,۰۸	۰,۰۷	۰,۰۷	۰,۰۷	۰,۰۸
Na _A	۰,۴۷	۰,۴۸	۰,۴۲	۰,۴۹	۰,۴۲	۰,۵۴	۰,۴۸	۰,۵۰	۰,۴۷	۰,۴۷	۰,۴۹	۰,۴۸	۰,۵۱	۰,۴۶
Ca _B	۱,۷۱	۱,۸۶	۱,۷۹	۱,۷۴	۱,۷۷	۱,۸۴	۱,۸۶	۱,۸۴	۱,۸۷	۱,۸۴	۱,۸۶	۱,۸۵	۱,۸۶	۱,۸۳
Ca _{B+} Na _B	۱,۷۹	۱,۹۳	۱,۹۰	۱,۸۷	۱,۸۸	۱,۹۲	۱,۹۳	۱,۹۲	۱,۹۳	۱,۹۲	۱,۹۳	۱,۹۲	۱,۹۳	۱,۹۱



شکل ۳ الف- نمودار Ti-Si [۱۰] که براساس آن، آمفیبول‌های مورد بررسی خاستگاه دگرگونی نشان می‌دهند، ب- نمودار تفکیک آمفیبول‌ها از مرجع [۱۱] که با توجه به آن آمفیبول‌های مورد بررسی در گروه آمفیبول‌های کلسیمی واقع شده‌اند. پ- نمودار تفکیک از مرجع [۱۲] که براساس آن آمفیبول‌های مورد بررسی از نوع مگنزیو‌هاستینگزیت هستند. ت- نمودار تفکیک تیتانیت‌های آذرین و دگرگونی [۱۲] که با توجه به آن تیتانیت‌های مورد بررسی از نوع دگرگونی هستند. ث- نمودار مرجع [۱۳] که براساس آن آمفیبول‌های مورد بررسی، از انواع آمفیبول‌های فشار متوسط هستند. (ج تا ی): شبکه‌های سنگ زایی مورد استفاده برای دما- فشارسنجی آمفیبول (بخش‌های خاکستری، گستره‌ی دما و فشار نمونه-های مورد بررسی را نشان می‌دهد) ج- شبکه‌ی سنگ‌زایی فازهای تیتانیم‌دار [۱۴]. ج- شبکه‌ی سنگ زایی مورب اشباع از آب در رخساره‌های آمفیبولیت و اکلوژیت [۱۴]. ح- گستره‌ی پایداری انواع آمفیبول‌ها [۱۵] و خ- شبکه‌ی سنگ‌زایی از مرجع [۱۶].

پلازیوکلаз تجزیه شده الیگوکلаз است. مقدار عضو نهایی آلبیت در پلازیوکلазهای موجود در آمفیبولیت‌ها ۰,۷۵ a.p.f.u تا ۰,۷۷ a.p.f.u و مقادیر اعضای نهایی آنورتیت ۰,۲۲ a.p.f.u تا ۰,۲۴ a.p.f.u است (جدول ۲).

تیتانیت: فرمول ساختاری تیتانیت بر اساس ۵ اکسیژن و ۳ کاتیون محاسبه شده و نتایج در جدول ۲ آورده شده است. نظر به این که تشخیص تیتانیت‌های ماقمایی از تیتانیت‌های دگرگونی گاهی مورد تردید است، با توجه به مقدار عناصر Fe, Al موجود، که جایگزین کلسیم و تیتان می‌شوند می‌توان خاستگاه تیتانیت‌های آذرین یا دگرگونی را مشخص نمود. بنابراین بر پایه نتایج مرجع [۱۲]، تیتانیت‌های موجود در

با توجه به تقسیم‌بندی بیان شده در مراجع [۱۷، ۱۱] آمفیبول‌های منطقه در گروه آمفیبول‌های کلسیمی قرار می-گیرند (شکل ۳ ب). با توجه به اینکه در آمفیبول‌های کلسیمی محاسبات مرجع [۱۷]، ترکیب آمفیبول‌های مورد بررسی، در گستره‌ی پاراکاکیت و مگنزیو‌هاستینگزیت قرار می‌گیرد که با توجه به بالاتر بودن مقادیر Fe^{3+} نسبت به Al^{VI} ، این آمفیبول‌ها از نوع مگنزیو‌هاستینگزیت هستند (شکل ۳ پ).

فلدسپات: نتایج تجزیه ریزپردازشی فلدسپات‌ها به همراه محاسبه‌ی فرمول ساختاری آن‌ها بر اساس ۸ اکسیژن و ۳ کاتیون، در جدول ۲ آورده شده است. ترکیب کانی‌های

برابر با ۱/۹۲ a.p.f.u است. در این کانی، یک انطباق منفی بین Fe^{3+} و Al وجود دارد، بدین صورت که با افزایش مقدار Fe^{3+} از جایگزینی Al موجود در ساختار کانی اپیدوت کاسته می‌شود. یکی از عوامل کلیدی در تعیین خاستگاه اپیدوت‌ها مقدار Fe^{3+} است با در نظر گرفتن مقدار Fe^{3+} موجود در اپیدوت‌ها، درصد پیستاسیت برابر با $(\text{Fe}^{3+}/(\text{Fe}^{3+} + \text{Al})) \times 100$ است. کمترین مقدار Fe^{3+} موجود در ساختار اپیدوت ۰/۵۱ a.p.f.u به ازای ۱۲/۵ اکسیژن و بیشترین مقدار آن، ۰/۹۷ a.p.f.u است. بنابراین، بیشترین مقدار پیستاسیت به دست آمده برای اپیدوت‌های منطقه ۳۰/۸ درصد و کمترین مقدار آن ۱۶/۹ درصد است (جدول ۳).

نمونه‌ی مورد بررسی از نوع دگرگونی هستند (شکل ۳ ت). ترکیب شیمیابی کانی تیتانیت با ترکیب آرمانی، به دلیل جانشینی‌هایی که صورت می‌گیرد از جمله TiO_2 با O و Al با Fe ، متفاوت است؛ با افزایش مقدار تیتان از مقدار آهن موجود در ساختار کانی تیتانیت کاسته می‌شود. در بسیاری از تیتانیت‌ها با خاستگاه دگرگونی، با افزایش مقدار TiO_2 ، هر دو عنصر Al و Fe کاهش می‌یابند [۱۹, ۱۸].

اپیدوت: فرمول ساختاری برای اپیدوت بر اساس ۱۲/۵ اکسیژن و ۸ کاتیون محاسبه شد که نتایج در جدول ۳ آورده شده است. در محاسبه‌ی فرمول ساختاری این کانی، آهن به صورت Fe^{3+} در نظر گرفته شده است که مقدار میانگین ۰/۶۹ a.p.f.u به ازای ۱۲/۵ اکسیژن بوده و مقدار Al در این کانی ۲/۴۱ و Ca

جدول ۲ نتایج تجزیه شیمیابی و محاسبه‌ی فرمول ساختاری فلدوپات‌ها بر اساس ۸ اکسیژن و تیتانیت بر اساس ۵ اکسیژن.

نمونه	قطور ۱۳D					
	کانی	فلدوپات			تیتانیت	
		#۱۷۱	#۱۷۳	#۱۸۲	#۱۴۶	#۱۵۵
تجزیه	#۱۷۱	#۱۷۳	#۱۸۲	#۱۴۶	#۱۵۵	#۱۶۱
SiO_2	۶۲/۷۳	۶۲/۸۶	۶۲/۹۶	۳۰/۴۴	۳۰/۳۳	۲۹/۸۹
TiO_2	۰/۰۱	۰/۰۱	۰/۰۱	۳۷/۶۵	۳۷/۲۹	۳۷/۶۹
Al_2O_3	۲۲/۶۷	۲۲/۰۹	۲۲/۹۳	۱/۳۹	۱/۵۲	۱/۰۵
Cr_2O_3	۰/۰۰	۰/۰۱	۰/۰۰	۰/۰۱	۰/۰۲	۰/۰۲
FeO^*	۰/۰۲	۰/۰۶	۰/۰۹	۰/۷۱	۰/۸۵	۰/۸۳
MnO	۰/۰۰	۰/۰۰	۰/۰۰	۰/۰۳	۰/۰۷	۰/۰۳
MgO	۰/۰۱	۰/۰۲	۰/۰۱	۰/۰۱	۰/۰۱	۰/۰۱
CaO	۴/۳۶	۴/۷۳	۴/۶۴	۲۸/۵۳	۲۸/۳۱	۲۸/۲۶
Na_2O	۷/۳۳	۸/۰۲	۸/۷۸	۰/۰۴	۰/۰۰	۰/۰۰
K_2O	۰/۰۱	۰/۰۲	۰/۰۶	۰/۰۲	۰/۰۱	۰/۰۰
مجموع	۹۸/۱۳	۹۹/۳۸	۱۰۰/۴۹	۹۸/۸۱	۹۸/۴۰	۹۷/۸۰
Si	۲/۸۴	۲/۸۴	۲/۷۷	۱/۰۰	۱/۰۰	۱/۰۰
Ti	۰/۰۰	۰/۰۰	۰/۰۰	۰/۹۳	۰/۹۳	۰/۹۴
Al	۱/۱۹	۱/۱۵	۱/۲۴	۰/۰۵	۰/۰۶	۰/۰۴
Cr	۰/۰۰	۰/۰۰	۰/۰۰	۰/۰۰	۰/۰۰	۰/۰۰
Fe^{2+}	۰/۰۰	۰/۰۰	۰/۰۰	۰/۰۲۰	۰/۰۲۰	۰/۰۱۷
Mn	۰/۰۰	۰/۰۰	۰/۰۰	۰/۰۰	۰/۰۰	۰/۰۰
Mg	۰/۰۰	۰/۰۰	۰/۰۰	۰/۰۰	۰/۰۰	۰/۰۰
Ca	۰/۲۰	۰/۲۲	۰/۲۱	۱/۰۱	۱/۰۰	۱/۰۱
Na	۰/۶۳	۰/۶۹	۰/۷۴	۰/۰۰	۰/۰۰	۰/۰۰
K	۰/۰۰	۰/۰۰	۰/۰۰	۰/۰۰	۰/۰۰	۰/۰۰
مجموع	۴/۸۷	۴/۹۲	۴/۹۸	۲/۰۳	۲/۰۳	۳/۰۳
$\text{Na}_{/(\text{Na}+\text{K}+\text{Ca})}$	۰/۷۵	۰/۷۵	۰/۷۷	-	-	-
$\text{K}_{/(\text{Na}+\text{K}+\text{Ca})}$	۰/۰۰	۰/۰۰	۰/۰۰	-	-	-
$\text{Ca}_{/(\text{Na}+\text{K}+\text{Ca})}$	۰/۲۴	۰/۲۴	۰/۲۲	-	-	-

جدول ۳ نتایج تجزیه ریزپردازشی اپیدوت برآمده از محاسبه فرمول ساختاری آنها بر اساس ۱۲/۵ اکسیژن.

نمونه	قطور 13D										
	#۱۳۹	#۱۴۳	#۱۴۹	#۱۵۰	#۱۵۱	#۱۵۲	#۱۵۴	#۱۶۰	#۱۶۶	#۱۶۷	#۱۶۹
Tجزیه											
SiO_2	۳۷,۸۶	۳۷,۹۲	۳۷,۹۵	۳۷,۷۷	۳۸,۳۶	۳۷,۹۸	۳۷,۲۲	۳۸,۱۶	۳۸,۲۳	۳۸,۰۴	۳۸,۱۱
TiO_2	۰,۰۶	۰,۴۱	۰,۷۰	۰,۰۹	۰,۱۱	۰,۳۸	۰,۰۰	۰,۱۲	۰,۱۸	۰,۰۶	۰,۰۶
Al_2O_3	۲۵,۱۷	۲۵,۸۲	۲۷,۳۹	۲۶,۱۲	۲۸,۹۵	۲۶,۶۹	۲۳,۴۸	۲۸,۰۵	۲۹,۱۰	۲۷,۵۹	۲۸,۷۵
Cr_2O_3	۰,۰۲	۰,۰۴	۰,۰۱	۰,۰۸	۰,۰۰	۰,۰۲	۰,۰۱	۰,۰۰	۰,۰۰	۰,۰۰	۰,۰۰
FeO^t	۱۲,۸۷	۱۱,۵۰	۹,۳۸	۱۱,۷۰	۸,۶۸	۱۰,۸۳	۱۴,۸۵	۹,۶۴	۸,۰۸	۱۰,۱۰	۸,۴۱
MnO	۰,۰۴	۰,۰۴	۰,۰۳	۰,۰۹	۰,۰۷	۰,۰۶	۰,۳۷	۰,۰۸	۰,۱۳	۰,۰۷	۰,۰۷
MgO	۰,۰۲	۰,۱۰	۰,۰۶	۰,۰۳	۰,۱۱	۰,۱۰	۰,۰۱	۰,۰۴	۰,۰۹	۰,۰۵	۰,۱۰
CaO	۲۳,۴۰	۲۳,۵۰	۲۳,۶۱	۲۳,۲۶	۲۳,۷۵	۲۳,۵۹	۲۲,۵۲	۲۳,۷۷	۲۳,۵۱	۲۳,۴۸	۲۳,۷۹
Na_2O	۰,۰۰	۰,۰۰	۰,۰۲	۰,۰۰	۰,۰۵	۰,۰۱	۰,۰۰	۰,۰۰	۰,۱۰	۰,۰۱	۰,۰۳
K_2O	۰,۰۰	۰,۰۰	۰,۰۰	۰,۰۱	۰,۰۰	۰,۰۰	۰,۰۰	۰,۰۰	۰,۰۶	۰,۰۱	۰,۰۲
مجموع	۹۹,۴۴	۹۹,۳۳	۹۹,۱۵	۹۹,۱۵	۱۰۰,۰	۹۹,۶۶	۹۸,۴۶	۹۹,۸۶	۹۹,۴۸	۹۹,۴۱	۹۹,۳۴
Si	۲,۹۲	۲,۹۲	۲,۹۱	۲,۹۲	۲,۹۱	۲,۹۱	۲,۹۲	۲,۹۱	۲,۹۱	۲,۹۱	۲,۹۱
Ti	۰,۰۰	۰,۰۲	۰,۰۴	۰,۰۰	۰,۰۰	۰,۰۲	۰,۰۰	۰,۰۱	۰,۰۰	۰,۰۰	۰,۰۰
Al	۲,۲۹	۲,۳۴	۲,۴۸	۲,۳۸	۲,۵۹	۲,۴۱	۲,۱۷	۲,۵۲	۲,۶۱	۲,۴۹	۲,۵۹
Cr	۰,۰۰	۰,۰۰	۰,۰۰	۰,۰۰	۰,۰۰	۰,۰۰	۰,۰۰	۰,۰۰	۰,۰۰	۰,۰۰	۰,۰۰
Fe^{3+}	۰,۸۳	۰,۷۴	۰,۶۰	۰,۷۵	۰,۵۵	۰,۶۹	۰,۹۷	۰,۶۱	۰,۵۱	۰,۶۴	۰,۵۳
Mn	۰,۰۰	۰,۰۰	۰,۰۰	۰,۰۰	۰,۰۰	۰,۰۰	۰,۰۲	۰,۰۰	۰,۰۰	۰,۰۰	۰,۰۰
Mg	۰,۰۰	۰,۰۱	۰,۰۰	۰,۰۰	۰,۰۱	۰,۰۱	۰,۰۰	۰,۰۰	۰,۰۱	۰,۰۰	۰,۰۱
Ca	۱,۹۳	۱,۹۴	۱,۹۴	۱,۹۲	۱,۹۳	۱,۹۴	۱,۸۹	۱,۹۴	۱,۹۲	۱,۹۳	۱,۹۵
Na	۰,۰۰	۰,۰۰	۰,۰۰	۰,۰۰	۰,۰۰	۰,۰۰	۰,۰۰	۰,۰۰	۰,۰۱	۰,۰۰	۰,۰۰
K	۰,۰۰	۰,۰۰	۰,۰۰	۰,۰۰	۰,۰۰	۰,۰۰	۰,۰۰	۰,۰۰	۰,۰۰	۰,۰۰	۰,۰۰
مجموع	۸,۰۰	۸,۰۰	۸,۰۰	۸,۰۰	۸,۰۱	۸,۰۰	۷,۹۹	۸,۰۱	۸,۰۱	۸,۰۰	۸,۰۲
$\text{Al}/(\text{Al}+\text{Fe}^{3+}+\text{Cr})$	۰,۷۳	۰,۷۵	۰,۸۰	۰,۷۵	۰,۸۲	۰,۷۷	۰,۶۹	۰,۸۰	۰,۸۳	۰,۷۹	۰,۸۲
(%) XPs	۲۶,۶	۲۴,۸	۱۹,۴	۲۳,۹	۱۷,۵	۲۲,۲	۳۰,۸	۱۹,۴	۱۹,۴	۲۰,۴	۱۶,۹

همچنین محدود بودن کانی‌های همبازدی دگرگونی آمفیبولیت‌ها، در این بخش با استفاده از ترکیب شیمیایی کانی‌ها و بطور ویژه آمفیبول‌ها، نخست به دماسنگی و سپس فشارسنگی آمفیبول و پلاژیوکلاز می‌پردازیم (جدول ۴) سپس با استفاده از دما فشارسنگی‌های قراردادی و فاز نمودارهای برآمده از بررسی‌های آزمایشگاهی، شرایط دما-فشار محاسباتی مقایسه می‌شود.

دماسنگی: دماسنگی بوسیله‌ی زوج کانی هورنبلند-پلاژیوکلاز همزیست از متداول‌ترین روش‌های تعیین دما در متابازیت‌ها به شمار می‌رود که توسط بسیاری پژوهشگران [۲۰، ۲۱، ۳۲-۳۰]، استفاده شده است. در اینجا، محاسبه دما بر پایه این کانی‌ها به چند روش انجام شد که خلاصه‌ی نتایج در جدول ۴ آمده است.

زمین دما فشار سنگی
آمفیبول‌ها دارای ساختار کانی‌شناسی و فرمول شیمیایی متنوعی هستند و در بسیاری از سنگ‌ها در دماهای ۱۱۵۰-۴۰۰ درجه‌ی سانتی‌گراد و فشارهای متفاوت ۱-۲۳ کیلوبار حضور دارند [۲۰]. افزون بر این، فراوانی عناصر در ترکیب این کانی تابع فشار، دما و گرینزندگی اکسیژن است [۲۱]. بررسی‌ها نشان می‌دهد که با افزایش دما و فشار، مقدار تیتانیوم، سدیم، آلومینیم، پتاسیم و عددمنیزیم ($\text{Mg}\#$) در آمفیبول افزایش می‌یابد، در حالی که از مقدار سیلیسیم و مجموعه‌ی آهن، منگنز و کلسیم کاسته می‌شود [۲۲، ۲۳]. وجود این رابطه‌ی خطی توسط پژوهشگران مختلف گزارش شده است [۲۴-۲۵]. بر این اساس، آمفیبول‌ها به طور گسترده، برای برآورد شرایط دمایی و فشاری توده‌های آذرین استفاده می‌شوند. با توجه به نبود گارنت در نمونه‌های مورد بررسی و

جدول ۴ نتایج دماسنجدی و فشارسنجدی کانی‌های آمفیبول و پلاژیوکلاز در آمفیبولیت‌های مورد بررسی.

دما (درجه‌ی سانتی‌گراد)			فشار (کیلوبار)				
مرجع [۲۰]	مرجع [۳۰]	مرجع [۳۱]	مرجع [۲۵]	مرجع [۲۶]	مرجع [۲۷]	مرجع [۲۸]	مرجع [۲۹]
۵۴۷ در ۲ کیلوبار	412 ± 31	690 ± 40	8.2 ± 1	8 ± 3	6.5 ± 0.5	7.8 ± 0.6	7 ± 0.6
۵۷۵ در ۸ کیلوبار							
$[۲۵] P (\pm 1 \text{ kbar}) = -4.76 + 5.64 \text{ Al}^t$					$[۲۶] P (\pm 3 \text{ kbar}) = -3.92 + 5.03 \text{ Al}^t$		
$[۲۷] P (\pm 0.5 \text{ kbar}) = -3.46 + 4.23 \text{ Al}^t$					$[۲۸] P (\pm 0.6 \text{ kbar}) = -3.01 + 4.76 \text{ Al}^t$		
$[۲۹] P (\pm 0.6 \text{ kbar}) = 4.76 \text{ Al}^t - 3.01 - \{[(T^\circ\text{C}) - 675]/85\} \times \{0.530 \text{ Al} + 0.005294[T^\circ\text{C}] - 675\}$					$[۳۰] T [\pm 311^\circ\text{K}] = 0.677P [\text{kbar}] - 48.98 - 0.0429 \times 0.0083144 \ln \{(Si-4/8-Si)XAb\}$		
$[۳۱] (T < 970^\circ\text{C}) = 1204(\text{Ti}) + 545$					$[۳۰] T [\pm 311^\circ\text{K}] = 0.677P [\text{kbar}] - 48.98 - 0.0429 \times 0.0083144 \ln \{(Si-4/8-Si)XAb\}$		

تغییرات فشار دارد [۲۸].

براساس رابطه زیر [۲۸]

$$P (\pm 0.6 \text{ kbar}) = -3.01 + 4.76 \text{ Al}^t \quad (۴)$$

میانگین فشار 7.8 ± 0.6 کیلوبار به دست آمد.

در رابطه‌ی زیر که برای محاسبه‌ی فشار ارائه شده است، همه‌ی پارامترهای دما، فشار و گریزندگی اکسیژن نقش دارند [۲۹]:

$$P (\pm 0.6 \text{ kbar}) = 4.76 \text{ Al}^t - 3.01 - \{[(T^\circ\text{C}) - 675]/85\} \times \{0.530 \text{ Al} + 0.005294[T^\circ\text{C}] - 675\} \quad (۵)$$

بر اساس این رابطه، میانگین فشار 7 ± 0.6 کیلوبار برای

میانگین دما 590°C درجه‌ی سانتی‌گراد محاسبه شد. دما مورد نیاز برای این رابطه، از روش دماسنجدی مرجع [۳۰]

بدست آمده است. در رابطه زیر:

$$P (\pm 3 \text{ kbar}) = -3.92 + 5.03 \text{ Al}^t \quad (۶)$$

مقادیر آلومینیم کل به عنوان پارامتری مهم در نظر گرفته شده است [۲۶].

بر اساس این رابطه، میانگین فشار بدست آمده برای آمفیبول‌های مورد بررسی، 3 ± 8 کیلوبار است.

پژوهشگرانی نیز بر اساس مقدار آلومینیم کل موجود در ساختار آمفیبول، رابطه زیر را ارائه کردند [۲۵]:

$$(\pm 1 \text{ kbar}) = -4.76 + 5.64 \text{ Al}^t \quad (۷)$$

بر پایه این رابطه، میانگین فشار نمونه‌های مورد بررسی، برابر با

: [۲۷]

$$P (\pm 0.5 \text{ kbar}) = -3.46 + 4.23 \text{ Al}^t \quad (۸)$$

مقدار میانگین فشار 6.5 ± 0.5 کیلوبار بدست آمد. دما و فشار

بدست آمده برای آمفیبول‌های مورد بررسی از روش مختلف مقادیر تقریباً مشابهی را نشان می‌دهند (جدول ۴).

در نخستین روش بر پایه رابطه زیر [۳۰] میانگین دمای تعادل هورنبلن-پلاژیوکلاز 785°C درجه کلوین (512 ± 38 درجه‌ی سانتی‌گراد) بدست آمد:

$$T [\pm 311^\circ\text{K}] = 0.677P [\text{kbar}] - 48.98 - 0.0429 \times 0.0083144 \ln \{(Si-4/8-Si)XAb\} \quad (۱)$$

$$(T < 970^\circ\text{C}) = 1204(\text{Ti}) + 545 \quad (۲)$$

دما بر پایه مقدار تیتانیم موجود در آمفیبول‌ها نیز با استفاده از رابطه زیر محاسبه شد [۳۱]، میانگین دما به این ترتیب، 690 ± 40 درجه‌ی سانتی‌گراد بدست آمد.

در روش دیگری که توسط بلاندی و همکارش [۲۰] برای زوج کانی هورنبلن و پلاژیوکلاز ارائه شده است، دما بر اساس جانشینی ادنیتی و چرماتیکی در ترکیب آمفیبول‌ها محاسبه می‌شود. این روش دوباره واسنجی شد [۳۰] و با توجه به واکنش‌های زیر دو دماسنجد مستقل برای سنگ‌های کوارتزدار و بدون کوارتز ارائه شد.

$\text{Edenite} + 4 \text{ Quartz} = \text{Tremolite} + \text{Albite}$
 $+ \text{Albite} = \text{Richterite} + \text{Anorthite}$

با استفاده از این روش، کمینه و بیشینه‌ی برای سنگ‌های مورد بررسی به ترتیب در فشار 2 کیلوبار، 547°C درجه‌ی سانتی‌گراد و در فشار 8 کیلوبار، 575°C درجه‌ی سانتی‌گراد به دست آمد بنابراین با توجه به اینکه با تغییر فشار، دما تغییر چندانی را نشان نمی‌دهد، بنظر می‌رسد که تغییرات دما مستقل از فشار بوده و این قابل قبول است.

فشارسنجدی: براساس ترکیب آمفیبول، روابط مختلفی برای برآورده فشار ارائه شده است [۲۰-۲۵] که خلاصه‌ی نتایج در جدول ۴ ارائه شده است. همه این محاسبات بر اساس مقدار آلومینیم کل موجود در آمفیبول انجام شده‌اند، زیرا مقدار آلومینیم موجود در ساختار آمفیبول روابطی مستقیمی با

با توجه به نتایج دما- فشارسنجدی این سنگ‌ها بر اساس شیمی آمفیبیول و پلازیوکلاز و نیز با استفاده از شبکه‌های سنگ‌زایی و فاز نمودارهای برآمده از بررسی‌های آزمایشگاهی، متوسط حدود ۶۵۰-۵۵۰ درجه‌ی سانتی‌گراد و فشار ۶ تا ۸ کیلوبار به دست آمد. مقادیر دما و فشار محاسبه شده نشان می‌دهد که اوج دگرگونی در شرایط دما متوسط- فشار متوسط که معروف دگرگونی نوع بارووین است، رخ داده است. شبیب زمین‌گرمایی سنگ‌های منطقه در دما و فشار محاسبه شده برابر با $25^{\circ}\text{C}/\text{km}$ بوده که منطبق با شرایط برخورد قاره‌ای همخوانی دارد. بر اساس گزارش‌های منتشر شده [۳۳، ۳۴، ۳۵، ۳۶]، در منطقه‌ی خوی، فروزانش اقیانوس نوتیس به زیر ایران مرکزی در تریاس- کرتاسه رخ داده است و برخورد نهایی قاره‌ای در میوسن [۳۴] و یا الیگوسن پسین [۳۵] صورت گرفته است بر این اساس به نظر می‌رسد که آمفیبیولیت‌های مورد بررسی طی برخورد قاره‌ای خردقاره ایران مرکزی با صفحه عربستان در شرایط اوج دگرگونی تشکیل شده باشند. برای تعیین سن دقیق دگرگونی اوج در این آمفیبیولیت‌ها نیاز به بررسی‌های دقیق ایزوتوپی است.

برداشت

در منطقه‌ی قطور، دو نوع آمفیبیولیت با سنگ‌های خاستگاه رسوبی (پارآمفیبیولیت) و آذرین (ارتواآمفیبیولیت) وجود دارد که ترکیب کانی‌شناسی این سنگ‌ها شباهت‌ها و تفاوت‌هایی دارد. کانی‌های هورنبلند و پلازیوکلاز، کانی‌های اصلی و مهم در این سنگ‌ها هستند. کانی‌هایی مانند زیرکن و کانی کدر به عنوان کانی‌های فرعی و کانی‌های ترمولیت- اکتینولیت، کلریت، اپیدوت و سریسیت برآمده از دگرگونی برگشتی در رخساره‌ی شیست سبز، در این سنگ‌ها حضور دارند. نمونه‌های پارآمفیبیولیتی با مقادیر بالایی از کلسیت و نیز مقادیر بیشتر کوارتز نسبت به فلدسپات مشخص می‌شوند. نتایج تجزیه شیمی کانی‌های آمفیبیول، فلدسپات، اپیدوت و تیتانیت‌ها بیانگر خاستگاه دگرگونی این کانی‌هاست. نتایج ریزکاوالکترونی نشان می‌دهد که آمفیبیول‌ها کلسیمی و از نوع مگنزیوهاستنگزیت بوده و پلازیوکلازها از نوع الیگوکلاز شامل حدود ۷۵ درصد آلبیت و ۲۵ درصد آنورتیت هستند. نتایج دما‌فشارسنجدی‌های انجام شده با واسنجی‌های مختلف و همچنین شبکه‌های سنگ‌زایی و فاز نمودارهای آزمایشگاهی برای این سنگ‌ها بیانگر دمای حدود ۶۵۰-۵۵۰ درجه‌ی سانتی‌گراد و فشار ۶-۸ کیلوبار

دما- فشارسنجدی با استفاده از شبکه‌های سنگ‌زایی و دما- فشارسنجهای قراردادی استفاده از نمودار Ti نسبت به Alt [۱۳] از روش‌های برآورد دما و فشار حاکم بر تشکیل متابازیت‌ها است. بر این اساس، هرچه فشار بیشتر باشد، مقدار تیتانیم‌دار موجود در آمفیبیول‌ها کاهش می‌یابد. با توجه به این امر، آمفیبیول‌های مورد بررسی در منطقه‌ی قطور، از انواع آمفیبیول‌های فشار متوسط هستند (شکل ۳ ث).

در نمونه‌های آمفیبیولیتی مجموعه‌ی دگرگونی قطور، اسفن (تیتانیت) در مجموعه‌ی کانی‌های دگرگونی سنگ حضور دارد، اما روتیل و ایلمنیت دیده نمی‌شود. بر این اساس با توجه به شبکه‌ی سنگ‌زایی فازهای تیتانیم‌دار [۱۴] فشار دگرگونی کمتر از ۱۳ کیلوبار و دمای دگرگونی نیز احتمالاً در گستره‌ی ۶۰۰ تا ۷۰۰ درجه‌ی سانتی‌گراد بوده است. بنابراین، دما و فشار محاسبه شده برای آمفیبیولیت‌های مورد بررسی با استفاده از روش‌های پیشین بر پایه گستره پایداری تیتانیت با گستره پایداری تیتانیت در شکل ۳ ج همخوانی دارد.

براساس تجزیه نمونه سنگ‌های بسیار، یک شبکه‌ی سنگ-زایی برای رخساره‌های آمفیبیولیت و اکلوزیت در سیستم مورب اشبع از آب در دما و فشارهای مختلف رسم شده است [۱۴] (شکل ۳ ج). با توجه به نبود گارنت در آمفیبیولیت‌های منطقه‌ی قطور، همچنین رنگ قهوه‌ای آمفیبیول‌ها در بررسی‌های سنگ-نگاری و ترکیب کانی‌شناسی مگنزیوهاستنگزیت آن‌ها، متوسط دما کمتر از ۷۰۰ درجه‌ی سانتی‌گراد و متوسط فشار کمتر از ۸ کیلوبار بوده است. افزون بر این، نبود شواهد ذوب‌بخشی در نمونه‌های مورد بررسی بیانگر آن است که بیشینه دما از ۷۵۰ درجه سانتی‌گراد کمتر بوده است (شکل ۳ ج).

شرایط دما و فشار دگرگونی را با استفاده از گستره پایداری انواع آمفیبیول‌ها [۱۵] نیز می‌توان به طور نیمه‌کمی ارزیابی کرد. با توجه به نمودار مرجع [۱۵]، گستره‌ی پایداری هورنبلند در دمای ۴۰۰ تا ۸۰۰ درجه سانتی‌گراد در فشارهای کمتر از ۷ کیلوبار واقع است (شکل ۳ ح). همچنین با توجه به نتایج سنگ‌شناسی [۱۶] و شبکه‌ی سنگ‌زایی آن‌ها مبنی بر نبود لاوسونیت و حضور اپیدوت، و پلازیوکلاز و همچنین هورنبلند، آمفیبیولیت‌های منطقه‌ی قطور در گستره دمایی ۴۰۰ تا ۷۰۰ درجه سانتی‌گراد و فشار کمتر از ۸ کیلوبار تشکیل شده‌اند (شکل ۳ خ).

- Flinn, Eds., Controls of Metamorphism Wiley New York (1965) 299–318.
- [11] Leake B.E., Woolley A.R., Arps C.E.S., Birch W.D., Gilbert M.C., Grice J.D., Hawthorne F.C., Kato A., Kisch H.J., Krivovichev V.G., Linthout K., Laird J., Mandarino J., Maresch W.V., Nickel E.H., Rock N.M.S., Schumacher J.C., Smith D.C., Stephenson N.C.N., Ungaretti L., Whitaker E.J.W., Youzhi G., "Nomenclature of amphiboles: report of the Subcommittee on Amphiboles of the International Mineralogical Association Commission on New Minerals and Mineral Names" Mineralogical Magazine (1997) 61 295–321.
- [12] Kowallis B.J., Christiansen E.H., Griffen D.T., "Compositional variations in titanite. Abstracts with Programs", Geological Society of America (1997) 29 402.
- [13] Hynes A., "A comparison of amphiboles from medium and low pressure metabasites", Contributions of Mineralogy and Petrology (1982) 81 119-125.
- [14] Liu J., Bohlen S.R., Ernst, W.G., "Stability of hydrous phases in subducting oceanic crust", Earth and Planetary Science Letters (1996) 143 161–171.
- [15] Otsuki M., Banno S., "Prograde and retrograde metamorphism of hematite-bearing basic schists in the Sanbg w belt in entr l Shikoku", Journal of Metamorphic Geology(1990)8 425- 439.
- [16] Frey M., DeCapitani C., Liou J.G., "A new petrogenetic grid for low-grade metabasites" Journal of Metamorphic Geology(1991) 9 479-509.
- [17] Locock A.J., "An Excel spreadsheet to classify chemical analyses of amphiboles following the IMA 2012 recommendations", Computers and Geosciences (2014) 62 1-11.
- [18] Green T.H., Pearson N.J., "Rare-earth element partitioning between sphene and coexisting silicate liquid at high pressure and temperature" Chemical Geology (1986) 55 105-19.
- [19] Seifert W., Kramer W., "Accessory titanite: an important carrier of zirconium in lamprophyres", Lithos (2003) 71 81-98.
- [20] Blundy J.D., Holland T.J.B., "Calcic amphibole equilibria and a new amphibole plagioclase geothermometer", Contributions to Mineralogy and Petrology (1990) 104 208-224.
- [21] Spear F.S., "An experimental study of hornblende stability and compositional variability in amphibolites", American Journal of Science (1981) 281 697-734.

است. مقادیر دما و فشار محاسبه شده نشان می‌دهد که اوج دگرگونی در شرایط دما متوسط- فشار متوسط که معرف سنگ‌های دگرگونی منطقه حدود $25^{\circ}\text{C}/\text{km}$ با شرایط برخورد قاره‌ای همخوانی دارد. بنظر می‌رسد که بسته‌شدن اقیانوس نوتیس در کرتاسه و برخورد قاره‌ای آن در الیگو سن پایانی و میوسن عامل تشکیل آمفیبولیت‌های موربد بررسی در پوسته قاره‌ای منطقه و مجموعه دگرگونی قطور بوده است. نتیجه‌گیری‌های دقیق‌تر در مورد زمان دگرگونی و زمین دینامیک دگرگونی سنگ‌های منطقه، نیاز به بررسی‌های ایزوتوبی و زمین‌شیمیابی بیشتر دارد.

مراجع

- [1] Stocklin J., "Structural history and tectonics of Iran: a review Amphibole associate", Petroleum Geology Bulletin (1968) 52 1229–1258.
- [2] Stampfli G.M., "Etude Geologique generale de l'Elbourz oriental au sud de Gonbad-e-Qabus , Iran NE", PhD Thesis (In French), University Genève (1978) 329pp.
- [3] Alavi M., "Sedimentary and structural characteristics of the Paleo-Tethy remnants in northeastern Iran", Geological Society of American Bulletin (1991) 103 983–992.
- [4] Nabavi M.H., "Review on geology of Iran", Geological survey and mineral exploration of Iran (in Persian) (1976) 109 pp.
- [5] Eftekharnejad J., "Tectonic division of Iran with respect to sedimentary basins", Iranian Journal of Petrology (in Persian) (1981) 82 19–28.
- [6] Khodabandeh A. M., Soltani J., Sartipi A., Emami M.H., "geology map of Iran, 1:100000" Geological survey and mineral exploration of Iran (2002).
- [7] Qoreyshi M., Arshadi S., "geology map of Iran, 1:250000", Geological survey and mineral exploration of Iran (1978).
- [8] Whitney D.L., Evans B.W., "Abbreviations for names of rock-forming minerals", American Mineralogist (2010) 95 185–187.
- [9] Droop G.T.R., "A general equation for estimating Fe^{3+} concentrations in ferromagnesian silicates and oxides from microprobe analyses using stoichiometric criteria", Mineralogical Magazine (1987) 51 431–435.
- [10] Leake B.E., "The relationship between composition of calciferous amphibole and grade of metamorphism", In W.S. Pitcher and G.W.

- [29] Anderson J. L., Smith D. R., "The effects of temperature and fO_2 on the Al-in-hornblende barometer", American Mineralogist (1995) 80 549.
- [30] Holland T., Blundy J., "Non-ideal interactions in calcic amphiboles and their bearing on amphibole-plagioclase thermometry" Contributions to Mineralogy and Petrology (1994) 116 433-47.
- [31] Otten M.T., "The origin of brown hornblende in Artfjallet gabbro and dolerites", Contributions to Mineralogy and Petrology (1984) 86 189-199.
- [32] Stein E., Dietl C., "Hornblende thermobarometry of granitoids from the Central Odenwald and their implications for the geotectonic development of the Odenwald", Mineralogy and Petrology (1984) 72 185-207.
- [33] Ghazi A.M., Pessagno E.A., Hassani Pak A.A., Kariminia S.M., Duncan R.A., Babaie H.A., "Biostratigraphic zonation and ^{40}Ar - ^{39}Ar ages for the Neotethyan Khoy ophiolite of NW Iran", Palaeogeography, Palaeoclimatology, Palaeoecology (2003) 193 311-323.
- [34] Khalatbari-Jafari M., Juteau T., Bellon H., Whitechurch H., Cotten J., Emami H., "New geological, geochronological and geochemical investigations on the Khoy ophiolites and related formations NW Iran", Journal of Asian Earth Sciences (2004) 23 507-535.
- [35] Azizi H., Moinevaziri H., Mohajel M., Yagobpoor A., "PTt path in metamorphic rocks of the Khoy region (northwest Iran) and their tectonic significance for Cretaceous-Tertiary continental collision", Journal of Asian Earth Sciences (2005) 27 1-9.
- [22] Hertz R.T., "Phase relations and compositions of amphiboles produced in studies of the melting behavior of rocks", Mineralogical Society of America Reviews in Mineralogy (1982) 9B 279-346.
- [23] Esawi E.K., "Amph-Class: An excel spreadsheet for the classification and nomenclature of amphibole based on the 1997 recommendation of the international mineralogical Association", Computers and Geosciences (2004) 30 753-760.
- [24] Tulloch A.J., Challis G. A., "Emplacement depths of Paleozoic-Mesozoic plutons from western New Zealand estimated by hornblende-Al geobarometry", New Zealand Journal of Geology and Geophysics (2000) 43 555-567.
- [25] Hollister L.S., Grissom G.C., Peters E.K., Stowell H.H., Sisson V.B., "Confirmation of the empirical correlation of Al in hornblende with pressure of solidification of calc-alkaline plutons" American Mineralogist (1978) 72 231-239.
- [26] Hammarstrom J.M., Zen E., "Aluminum in hornblende: An empirical igneous geobarometer", American Mineralogist (1986) 71 1297-1313.
- [27] Johnson M.C., Rutherford M.J., "Experimental calibration of the aluminum-in-hornblende geobarometer with application to Long Valley Caldera (California) volcanic rocks" Geology (1989) 17 837-841.
- [28] Schmidt M.W., "Amphibole composition in tonalite as a function of pressure: an experimental calibration of the Al-in hornblende barometer", Contributions to Mineralogy and Petrology (1992) 110 304-310.